

## Thermal Evaporation 법에 의해 제조된 $\text{WO}_3$ 박막과 $\text{NiO-WO}_3$ 박막의 전기적 특성에 관한 연구

나은영 · 나동명\* · 박진성\*†

조선대학교 에너지 차원 신기술연구소

\*조선대학교 신소재공학과

(2004년 12월 24일 접수 : 2005년 2월 2일 채택)

## A Study on the Electrical Characteristic of $\text{WO}_3$ and $\text{NiO-WO}_3$ Thin Films Prepared by Thermal Evaporation

Eun-young Na, Dong-myong Na\*, and Jin-seong Park\*†

Research Institute of Energy Resources Technology, Chosun University, Gwangju 501-759, Korea

\*Department of Advanced Materials Engineering, Chosun University, Gwangju 501-759, Korea

(Received December 24, 2004 : Accepted February 2, 2005)

### 초 록

본 연구는  $\text{WO}_3$  박막과  $\text{NiO-WO}_3$  박막을 고진공 저항가열식 thermal evaporation 법으로 (100) n형의 실리콘 단결정 기판 위에 증착시켰고, 막의 결정성 증진을 위하여 공기 중 500°C에서 30분 동안 열처리하였다. 박막의 결정성 및 결정구조를 분석하기 위해서 X선 회절분석기를 사용하였고, 표면 및 단면 관찰을 위해서는 주사전자현미경을 이용하였다. 그리고 화학 조성 결합에너지스는 XPS를 이용하였다. 순수  $\text{WO}_3$  박막의 결정 크기는 500°C에서 30분 동안 공기 중 열처리에 의해서 0.6  $\mu\text{m}$ 로 성장하였고  $\text{WO}_3$  박막의 두께가 증가할수록 거의 변화 없이 일정하였다. 반면, NiO가 첨가된  $\text{WO}_3$  박막 두께별 결정크기는 각각 0.12  $\mu\text{m}$ , 0.28  $\mu\text{m}$ , 0.32  $\mu\text{m}$  및 0.43  $\mu\text{m}$ 로 순수  $\text{WO}_3$  박막에 비해 치밀한 표면을 형성하였고, 최대 5배정도 성장이 억제되었다. 가스감도 측정은 대기 중에서의 센서 저항값을 기준으로 측정 가스 저항값의 비율 ( $R_{\text{NOx}}/R_{\text{air}}$ )로 가스감도를 나타내었다. 전기적 성질은 MFC로  $\text{NO}_x$  가스 5 ppm을 일정히 유지시켰고, Multimeter로 계측하여 컴퓨터에 자동 계측되는 시스템을 사용하였다. 순수  $\text{WO}_3$  박막보다는  $\text{NiO-WO}_3$  박막이 우수한  $\text{NO}_x$  감도특성을 보였고 센서의 작동온도는 250°C에서 우수한 감도를 나타내었다.

**Abstract :**  $\text{WO}_3$  and  $\text{NiO-WO}_3$  thin films were deposited on a Si (100) substrate by using high vacuum thermal evaporation. The effects of various film thicknesses on the surface morphology  $\text{WO}_3$  and  $\text{NiO-WO}_3$  thin films were investigated. X-ray diffraction (XRD), Scanning electron microscopy (SEM) and X-ray photoelectron spectroscopy (XPS) were employed to characterize the deposited films. The results suggest that as  $\text{WO}_3$  thin films became thick, their grain grew up to a 0.6  $\mu\text{m}$ . On the other hand, NiO-doping to  $\text{WO}_3$  thin films inhibited the grain growth five times less than undoped  $\text{WO}_3$  thin films. This results show that NiO doping inhibited the grain growing of  $\text{WO}_3$  thin films. Also, the variation of  $\text{NO}_x$  sensitivity ( $R_{\text{NOx}}/R_{\text{air}}$ ) to the thickness of  $\text{WO}_3$  and  $\text{NiO-WO}_3$  thin films were measured according to the thickness change of thin films and the working temperature of sensor in 5 ppm  $\text{NO}_x$  gas. As a result,  $\text{NiO-WO}_3$  thin films showed more excellent properties than  $\text{WO}_3$  thin films for  $\text{NO}_x$  sensitivity.

**Key words :**  $\text{NiO-WO}_3$  thin film, Thermal evaporation,  $\text{WO}_3$  thin film, Surface morphology, XPS.

### 1. 서 론

$\text{NO}_x$  센서에 대한 연구는 1990년대 들어서 활발해졌으며,  $\text{SnO}_2$ ,  $\text{ZnO}$ ,  $\text{WO}_3$  등의 단일 혹은 복잡 산화물 반도체 센서,  $\text{SiC-ZnO}$  이종접촉 센서,  $\text{Yb}_2\text{Cu}_3\text{O}_7$ 와 같은 p형 산화물 반도체

센서,<sup>1,2)</sup> 고체전해질을 이용한 전기화학 센서,<sup>3)</sup>  $\text{YBa}_2\text{Cu}_3\text{O}_{7-\delta}$  박막을 이용한 초전체 센서,<sup>4)</sup> 프탈로시아닌(phthalocyanine)을 이용한 유기물 반도체 센서<sup>5)</sup> 등이 발표된 바 있다. 그 중에서도 n형인  $\text{WO}_3$ 를 모 물질로 하여 제작된 센서는 그 구조가 비정질 상태 또는 다결정 상태에 관계없이  $\text{NO}_x$  가스에 대하여 우수한 감지 특성을 보였다. 특히  $\text{CO}$ ,  $\text{CH}_4$  등에 대한 상대감도(cross sensitivity)가 낮고  $\text{NO}_x$  만을 선택적으로 검지하는데 유리하다

<sup>†</sup>E-mail: jsepark@chosun.ac.kr

는 사실이 보고되었다.<sup>6)</sup> 또한 미량의  $\text{NO}_2$  가스 감도향상을 목적으로  $\text{WO}_3$  박막에 Au, Ti, Al 및 Pt 등을 첨가한 연구결과가 보고되었다.<sup>7)</sup> 반면,  $\text{NiO-WO}_3$  이중박막을 이용한  $\text{NO}_x$  센서에 대한 연구 및 박막의 결정 성장 거동과 조성에 따른 결합에너지 변화에 대한 연구는 아직까지 이루어지지 않았다.

$\text{NiO}$ 는  $\text{NaCl}$  결정구조를 가진 대표적인 3d 전이금속 산화물로서, 523 K에서 반강자성 전이(antiferromagnetic transition)가 일어난다. 화학양론적으로 순수한  $\text{NiO}$ 는 상온에서 비저항이 약  $10^{13} \Omega \cdot \text{cm}$  정도로 거의 절연체에 가깝지만, Li와 같은 1가 이온의 첨가나 니켈 빈자리 또는 격자간 산소의 존재로 인하여 나타나는  $\text{Ni}^{3+}$  이온의 증가에 의하여 비저항이 감소함으로써, 금속결핍의 비화학양론성( $\text{Ni}_{1-x}\text{O}$ )을 가지는 p형 반도성 산화물로 알려져 있다.<sup>8)</sup> 또한  $\text{NiO}$  박막은 자기적, 전기적 및 광학적 특성 뿐만 아니라 화학적 안정성이 뛰어나, 반강자성막(antiferromagnetic layer), p형 투명전도막, 전기변색소자(electrochromic device), 기능성 센서막 등의 응용에 관심을 끌고 있다.<sup>9)</sup> 특히 (100) 및 (111)면으로 우선 배향(epitaxial) 성장된  $\text{NiO}$  박막은, 산소이온 격자의 대칭성이나 (110) 배향성 산화물  $\text{SnO}_2$  박막과 (200) 배향성 산화물  $\text{WO}_3$  박막과의 격자상수가 비슷하고 화학적 안정성이 좋기 때문에, c-축 배향된 페로브스카이트형 강자성막(perovskity-type ferromagnetic film)이나 초전도 박막 등과 같은 배향성 산화물 박막을 증착하기 위한 완충층(buffer layer)으로 이용이 기대되고 있다.<sup>10)</sup> 따라서 본 연구에서는 저항가열식 Thermal evaporation법으로  $\text{WO}_3$  박막과  $\text{NiO-WO}_3$  박막을 제조하였다. 이때 순수  $\text{WO}_3$  박막은 두께를 증가시켰고,  $\text{NiO-WO}_3$  박막은 0.25 g  $\text{WO}_3$ 의 1 mol%에 해당하는 0.0008 g의  $\text{NiO}$ 를 첨가하였다. 이에 따른  $\text{WO}_3$  박막과  $\text{NiO-WO}_3$  박막의 결정 성장 거동과 박막의 두께에 따른 전기적 반응특성을 고찰하였다.

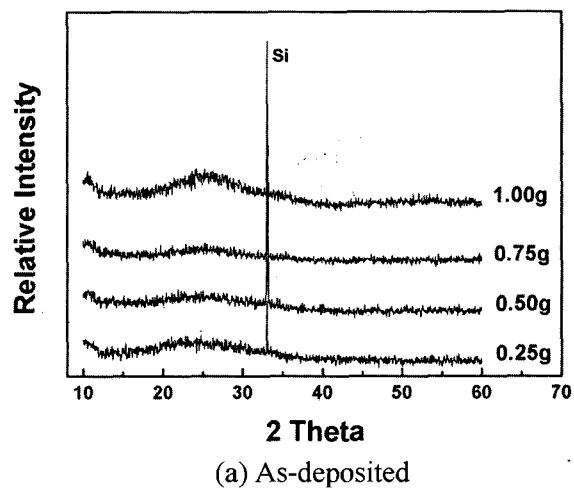
## 2. 실험 방법

$\text{WO}_3$  박막과  $\text{NiO-WO}_3$  박막을 고진공 저항가열식 Thermal Evaporation 법으로 (100) n형의 실리콘 단결정 기판 위에 증착시켰으며, 기판과 증착막과의 절연을 위해서  $\text{Al}_2\text{O}_3$  막은 Electron-beam evaporator를 이용하여 약 200 nm 두께로 증착하였다. 이때 e-beam 전력은 7.23 kw, 전류는 70 mA 상태에서 산소를 3 sccm 흘려주었다. 박막 증착시  $\text{WO}_3$ 와  $\text{NiO}$ 의 전압은 각각 3.0 V, 4.5 V였으며 챔버의 진공도는  $5 \times 10^{-6}$  Torr를 유지하였다. 증발원으로는 분쇄된 알루미나 소결체(99.9%, Aldrich Co.)를 사용하였고, 주원료로는  $\text{WO}_3$ (Aldrich, 99%+, >20  $\mu\text{m}$ ), 첨가제는  $\text{NiO}$ (Kanto chemical, 99%+, >10  $\mu\text{m}$ )를 사용하였다. 순수  $\text{WO}_3$  박막의 경우  $\text{WO}_3$  분말을 각각 0.25, 0.5, 0.75 및 1.0 g를 첨가하였고,  $\text{NiO-WO}_3$  박막의 경우는 0.25 g  $\text{WO}_3$ 의 1 mol%에 해당하는 0.0008 g의  $\text{NiO}$ 를 각각 첨가하여 15분 동안 증착하였다.  $\text{WO}_3$  박막과  $\text{NiO-WO}_3$  박막 증착 후에는 막의 결정성 증진을 위하여 공기 중 500°C에서 30분 동안 열처리하였다. 박막의 결정성 및 결정구조를 분석하기 위해서 X-선 회절분석기(Rigaku D-Max IIIA, CuK = 1.5405 Å)를 사용하였고, 표면 및 단면 관찰을 위해서는 주사전자현미경(FE-SEM, Hitachi S-4700)을 이용하였다. 그리고 화학 조성 결합에너지 X-ray Photoelectron Spectroscopy(XPS)를 이용하였다. 가스감도 측정은 대기 중에서의 센서 저항값( $R_{\text{air}}$ )을 기준으로 측정가스저항값( $R_{\text{NO}_x}$ )의 비율( $R_{\text{NO}_x}/R_{\text{air}}$ )로 가스감도를 나타내었다. 전기적 성질

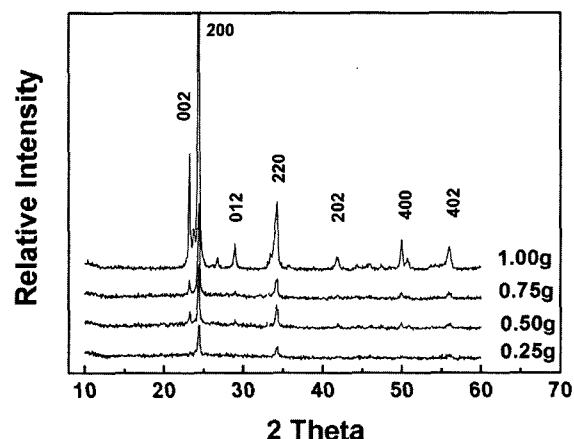
은 MFC(mass flow controller-MR500)로  $\text{NO}_x$  가스 5 ppm을 일정히 유지시켰고, Multimeter(HP-34401A)로 계측하여 컴퓨터에 자동 계측되는 시스템을 사용하였다. 이에 작동온도 변화에 따른 가스감도 변화를 측정하였다.

## 3. 결과 및 고찰

$\text{NO}_x$  가스센서의 감지막으로 순수  $\text{WO}_3$  박막의 조건별 열처리에 따른 X선 회절 분석(XRD) 결과를 Fig. 1(a)와 (b)에 도시하였다. As-deposited  $\text{WO}_3$  박막에서는 결정화가 되지 않은 비정질 상으로 존재하였고, 두께변화에 관계없이 실리콘 기판의 피크 이외에 어떠한 피크도 관찰되지 않았다. 반면,  $\text{WO}_3$  박막 증착 후 500°C에서 열처리함에 따라 (200) 방향의 주 피크로  $\text{WO}_3$  상이 다결정으로 성장하면서 결정상태로 되었음을 알 수 있다. 이때  $\text{WO}_3$  박막 두께가 증가할수록 (200)과 (002) 피크강도가 증가하였다. Fig. 2는 0.25, 0.5, 0.75 및 1.00 g의  $\text{WO}_3$  박막에 0.25 g의  $\text{WO}_3$ 에 상당하는 1 mol%의  $\text{NiO}$ 를 각각 첨가한 후 500°C 열처리에 따른  $\text{NiO-WO}_3$  박막의 XRD결과이다.  $\text{NiO}$  첨가시 (002) 피크가 순수  $\text{WO}_3$  박막의 결정구조보다 강하게 나타내는 경향을 보일 뿐 각 두께 변화에 따른  $\text{WO}_3$  박막의 결정상태와 차이점을 구별하기에는 어려웠다.

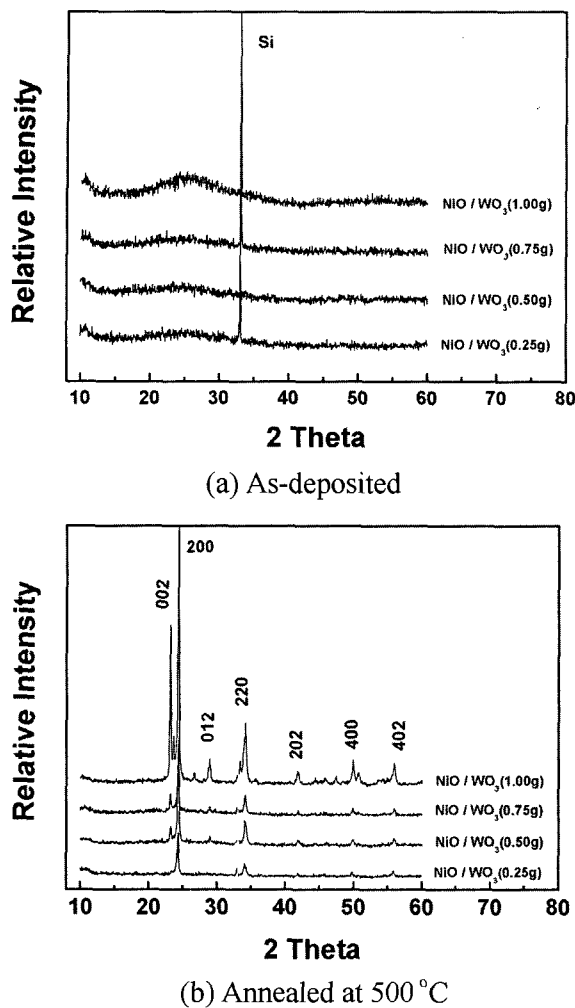


(a) As-deposited



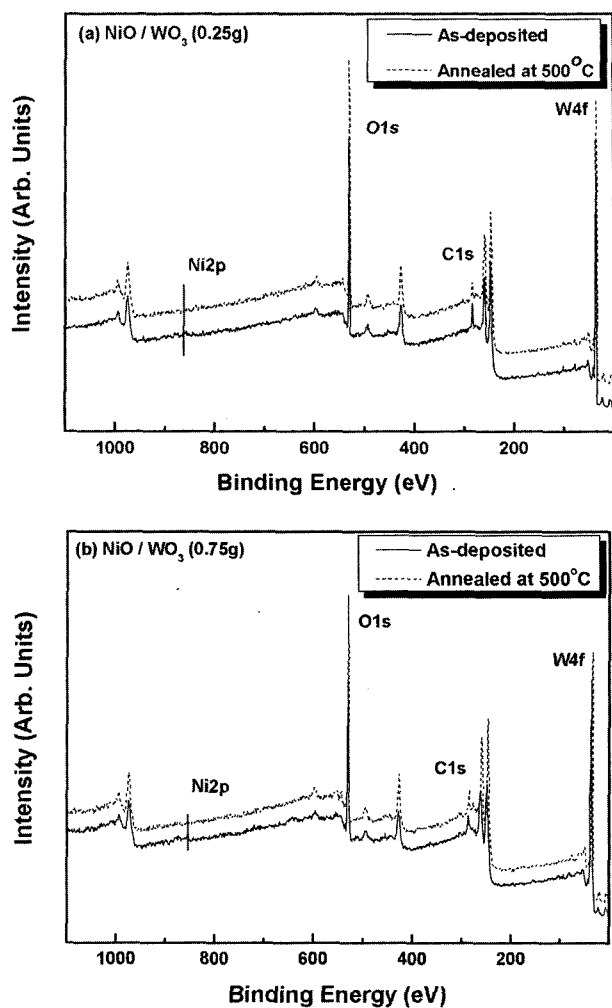
(b) Annealed at 500 °C

Fig. 1. X-ray diffraction patterns of  $\text{WO}_3$  films.

Fig. 2. X-ray diffraction patterns of NiO-WO<sub>3</sub> films.

이와 같이 NiO가 첨가됨에도 불구하고 NiO 상이 검출되지 않은 것은 NiO의 양이 WO<sub>3</sub>의 양에 비해 상대적으로 극히 적어 XRD에서는 나타나지 않은 것으로 사료된다. 한편 1 mol% NiO가 첨가된 0.25 g과 0.75 g의 WO<sub>3</sub> 박막의 조성에 따른 결합 에너지 특성을 XPS로 측정하여 Fig. 3에 도시하였다. 각 성분의 결합에너지 변화는 C1s 피크값을 기준으로 보정하여 구하였다.

NiO가 첨가된 서로 다른 두께 WO<sub>3</sub> 박막의 초기 상태 및 열처리에 따른 XPS W4f core level 결합에너지 분석 결과를 Fig. 4에 나타냈다. Fig. 4(a)는 0.25 g의 NiO-WO<sub>3</sub> 박막의 XPS 스펙트럼으로 열처리 전의 시료는 35.8 eV의 바인딩 에너지를 갖는 W<sup>6+</sup>로 존재하는 반면, 이것이 500°C 열처리 후에는 바인딩 에너지가 0.9 eV 낮아진 34.9 eV의 값을 가지게 되었는데 이를 통해 W<sup>5+</sup>로 존재함을 알 수 있었다. (b)는 0.75 g의 WO<sub>3</sub> 박막으로 (a)와 동일하게 열처리 전에는 W<sup>6+</sup> 상으로 존재하다가 열처리 후에는 W<sup>5+</sup>으로 약한 결합에너지 쪽으로 이동한 것을 알 수 있다. 그러나, (a)의 경우 W<sup>6+</sup>보다 W<sup>5+</sup> 피크강도가 크게 나타났고, (b)의 경우는 W<sup>5+</sup>보다 W<sup>6+</sup> 피크강도가 크게 나타나는 반대되는 경향을 보였다. 다시 말해, (a)는 비화학양론적 조성의 WO<sub>3.x</sub> 상태로 산소 빈자리 농도가 (b)보다 큰 상태로 결정화 되었고, (b)는 비화학양론적 조성이나 산소 빈자리 농도가 적은 상태로 성장 된 것을 알 수 있었다. 이와 같은 현상은

Fig. 3. XPS wide scan of a NiO-WO<sub>3</sub> thin film deposited.

WO<sub>3</sub>는 산소 빈자리에 기인한 n형 전도 특성을 가지는 재료로써 NiO 첨가에 따라 산소 빈자리농도의 변화가 전도 특성에 영향을 미치는 것으로 사료된다. 그리고 열처리 전 피크 강도는 WO<sub>3</sub> 두께가 증가할수록 커졌다.

Fig. 5는 NiO가 첨가된 0.25 g과 0.75 g의 WO<sub>3</sub> 박막을 열처리 유무에 따른 XPS Ni2p의 분석 결과이다. 열처리 전에는 NiO-WO<sub>3</sub>(0.25 g) 박막은 856.4 eV의 바인딩 에너지를 갖는 Ni<sup>2+</sup>로 존재하던 피크가 500°C 열처리 이후에는 855.1 eV의 바인딩 에너지를 갖는 Ni<sup>3+</sup>로 이동한 것을 알 수 있다. 또한 NiO-WO<sub>3</sub>(0.75 g) 박막은 853.4 eV의 바인딩 에너지를 갖는 Ni<sup>2+</sup>로 존재하던 피크가 500°C 열처리 이후에는 855.1 eV의 바인딩 에너지를 갖는 Ni<sup>3+</sup>로 이동한 것을 알 수 있다. 이와 같이 WO<sub>3</sub> 위에 NiO가 첨가되면 NiO-WO<sub>3</sub>의 이중박막이 형성되는 데 이때 WO<sub>3</sub>의 산소와 흡착하여 Ni<sub>2</sub>O<sub>3</sub>가 생성되고, WO<sub>3</sub>의 산소 빈자리 농도를 증가시키는 것을 알 수 있다.

주사전자현미경으로 WO<sub>3</sub> 박막과 NiO-WO<sub>3</sub> 박막의 두께에 따른 미세구조를 Fig. 6(I)과 (II)에 도시하였다. 순수 WO<sub>3</sub> 박막의 결정 크기는 500°C에서 30분 동안 공기 중 열처리에 의해서 0.6 μm로 성장한 반면 WO<sub>3</sub> 박막의 두께가 증가할수록 거의 변화 없이 일정하였다. 반면, NiO가 첨가된 WO<sub>3</sub> 박막 두께별 결정크기는 각각 0.12 μm, 0.28 μm, 0.32 μm 및 0.43 μm

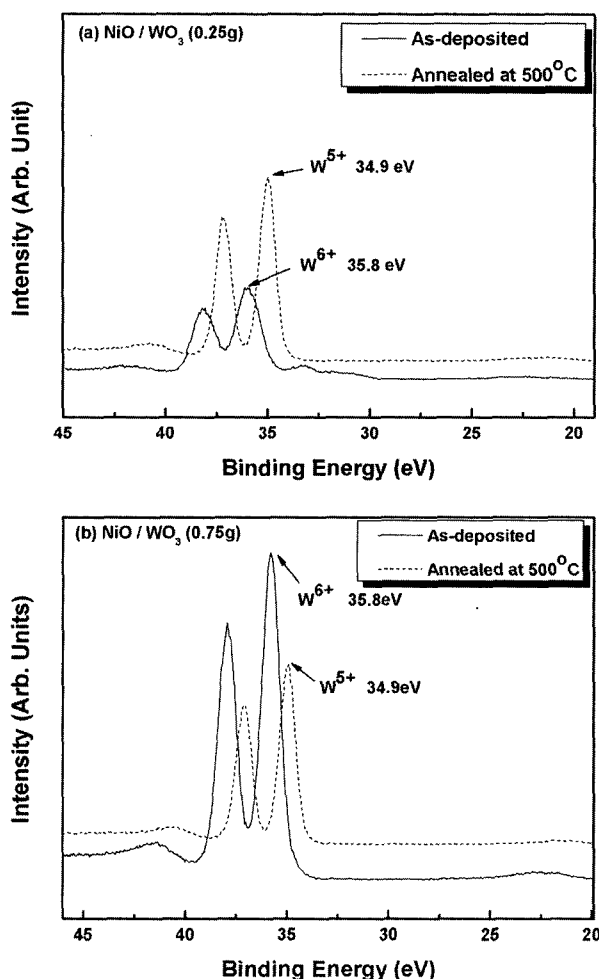
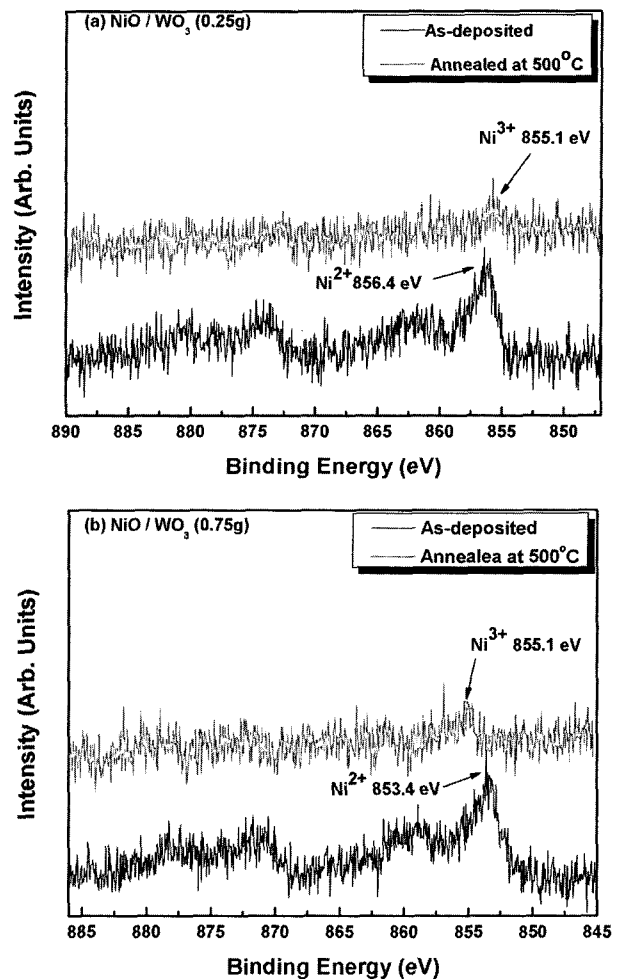
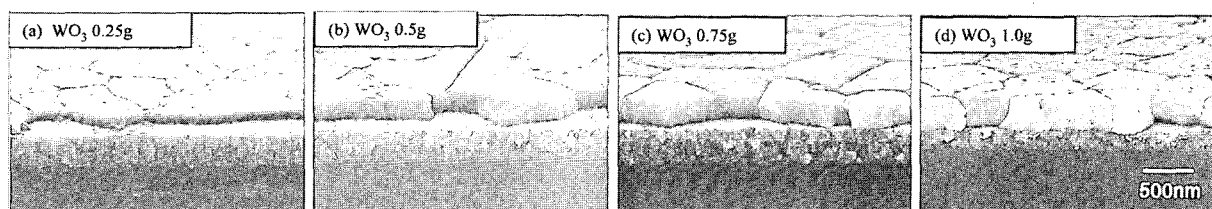
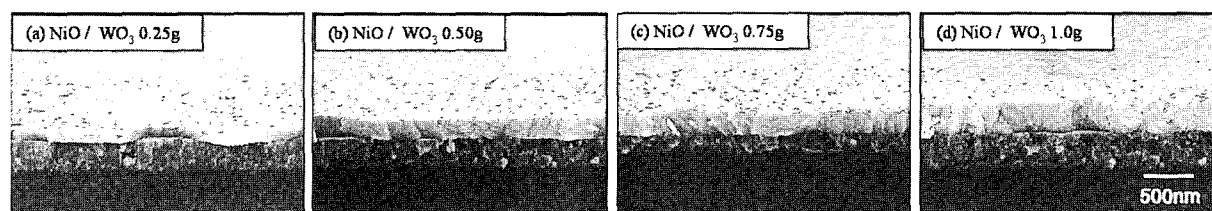
Fig. 4. XPS W4f spectra of NiO-WO<sub>3</sub> with annealing atmosphere.Fig. 5. XPS Ni2p spectra of NiO-WO<sub>3</sub> with annealing atmosphere.( I ) undoped WO<sub>3</sub> after 500°C sintering (various WO<sub>3</sub> weight)( II ) NiO-doped WO<sub>3</sub> after 500°C sintering (various WO<sub>3</sub> weight)

Fig. 6. SEM images of different thickness of films.

로 순수 WO<sub>3</sub> 박막에 비해 치밀한 표면을 형성하였고, 최대 5 배 정도 성장이 억제되었다. 이와 같이 순수 WO<sub>3</sub> 박막에 NiO

침가로 결정립 성장이 억제됨을 확인할 수 있었다.  
반도체식 NO<sub>x</sub> 가스센서로서 순수 WO<sub>3</sub> 박막과 NiO-WO<sub>3</sub>

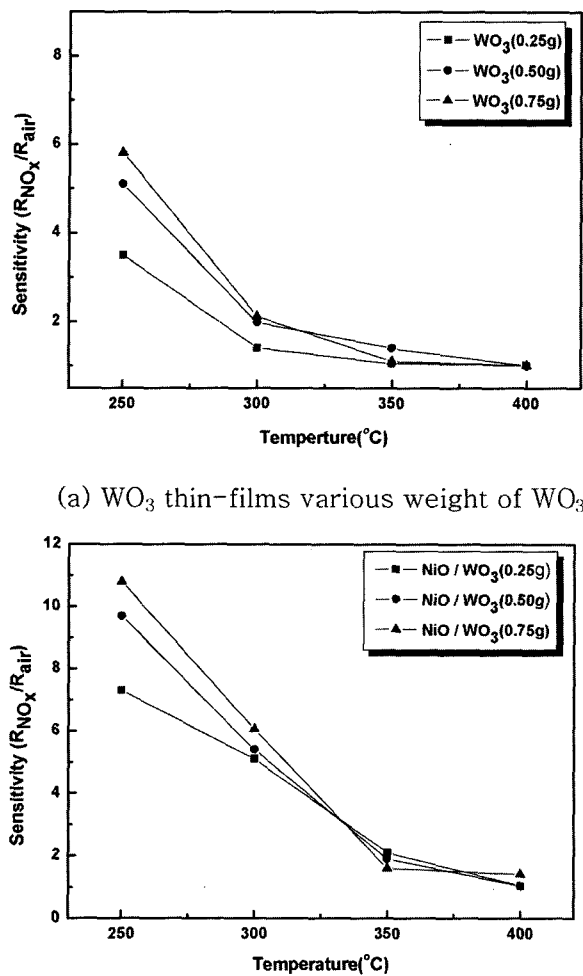


Fig. 7. NO<sub>x</sub> sensitivity behavior of the WO<sub>3</sub> and NiO-WO<sub>3</sub> thin-films as a function of films thickness at 250°C, 300°C, 350°C and 400°C, respectively.

박막의 조성 변화에 따른 전기적 성질, 즉 5 ppm의 NO<sub>x</sub> 가스에 대한 각 박막의 작동온도에 따른 감응 특성을 Fig. 7에 도시하였다. NO<sub>x</sub>는 H<sub>2</sub>, CO 탄화수소계 가스계 등의 환원성 가스와 달리 산화성 가스, 즉 전자수용성 가스로서 WO<sub>3</sub>와 같은 n형 산화물 반도체와 흡착할 경우에 grain boundary에서 운반자(carrier) 밀도가 감소하여 전기전도도가 감소하고 저항은 증가한다. 반면에 CH<sub>4</sub>, C<sub>3</sub>H<sub>8</sub>, CO, H<sub>2</sub> 등 환원성 가스, 즉 전자공여성 가스가 흡착할 경우에는 carrier 밀도가 증가하여 전기전도도가 증가하고 저항값이 감소하게 된다. 한편 WO<sub>3</sub>에 NiO를 첨가한 산화물의 전기적 성질은 (1) WO<sub>3</sub> 격자결함인 산소 빈자리(oxygen vacancy), (2) WO<sub>3</sub> 표면에서 산소 흡·탈착, 그리고 (3) NiO와 WO<sub>3</sub>가 반응해서 생성되는 NiWO<sub>4</sub>의 제 2상에 의해서 변할 수 있다.<sup>11)</sup>

Fig. 7(a)는 순수 WO<sub>3</sub> 박막의 경우로서 센서온도가 250°C일 때 가장 감도가 높았으나 300, 350 및 400°C로 상승시킬 경우 감도는 감소하였다. 한편, 두께가 최대인 0.75 g WO<sub>3</sub> 박막의 NO<sub>x</sub> 가스감도 값은 6.0으로 나타났다. 이는 두께가 증가할수록 WO<sub>3</sub> 박막의 저항이 향상되었고, 공기 중 저항값에서 최대 6배

가 증가하였음을 의미한다. Fig. 7(b)는 일정 NiO가 첨가된 WO<sub>3</sub> 두께에 따른 작동온도별 NO<sub>x</sub> 감도 특성이다. NiO-WO<sub>3</sub> 박막이 순수 WO<sub>3</sub> 박막 보다 감도가 증가하였다. 그리고 NiO-WO<sub>3</sub> 박막의 최대 NO<sub>x</sub> 감도값은 작동온도 250°C에서 11.2로 나타났다. 이와 같이 NiO는 NO<sub>x</sub> 감지시 촉매역할을 함으로써 NO<sub>x</sub> 감도를 향상시켰으며 XPS 실험결과에서 보인 바와 같이 NiO 첨가에 따른 산소 빈자리 농도의 변화는 전도 특성에 영향 준 것으로 사료된다. 한편, 산화물 반도체에 일정 적정량의 귀금속 촉매를 첨가하면 전기전도도가 증가한다는 보고가 있다.<sup>7)</sup>

#### 4. 결 론

저항가열식 Thermal evaporation법으로 Al<sub>2</sub>O<sub>3</sub>/Si 기판 위에 두께가 서로 다른 WO<sub>3</sub> 박막과 NiO-WO<sub>3</sub> 박막을 층착하였다. WO<sub>3</sub> 박막과 NiO-WO<sub>3</sub> 박막의 결정 성장 거동을 살펴본 결과 열처리 전 WO<sub>3</sub> 박막은 비정질(amorphous) 상태였고, 500°C에서 30분 동안 열처리하였을 때 사방정(orthorhombic phase)의 WO<sub>3</sub> 다결정을 얻을 수 있었다. 그리고 순수 WO<sub>3</sub> 박막의 경우 WO<sub>3</sub>의 두께변화에 관계없이 결정립 크기는 일정하였으나 NiO-WO<sub>3</sub> 박막은 순수 WO<sub>3</sub> 박막보다 약 5배 정도 결정크기가 억제되었다. 이는 NiO가 WO<sub>3</sub> 박막의 입자 성장에 억제 효과를 보임을 알 수 있었다. XPS 측정결과 WO<sub>3</sub> 위에 NiO가 첨가되면 WO<sub>3</sub>의 산소와 흡착하여 Ni<sub>2</sub>O<sub>3</sub>가 생성되고, WO<sub>3</sub>의 산소 빈자리 농도가 증가하여 WO<sub>3</sub>-x로 존재함을 알 수 있었다. 또한 순수 WO<sub>3</sub> 박막보다는 NiO-WO<sub>3</sub> 박막이 우수한 NO<sub>x</sub> 감도특성을 보였는데, 이는 일정량의 NiO는 촉매역할을 함으로써 NiO 첨가시 산소 빈자리 농도의 변화는 전도특성에 영향을 미친 것으로 판단된다. 센서의 작동온도는 250°C에서 가장 우수한 감도를 나타내었다.

#### 감사의 글

이 논문은 학술진흥재단의 중점 연구소 지원에 의해서 연구되었음(KRF-2002-005-D00008).

#### 참고문헌

- Y. Yamada, K. Yamashita, Y. Masuoka and Y. Seno, *Sensors and Actuators*, **B77**, 12 (2001).
- U. Lampe, J. Gerblinger and H. Meixner, *Sensor and Actuator*, **B26**, 26 (1995).
- N. Miura, S. Yao, Y. Shimizu and N. Yamazoe, *Sensors and Actuator*, **B13**, 387 (1993).
- S. Kudo, H. Ohnishi, T. Matsumoto and M. Ippommatsu, *Sensors and Actuator*, **B23**, 219 (1995).
- K. Moriya, H. Enomoto and Y. Takita, *Jpn. Chem. Sensors*, **9**, 153 (1993).
- T. Ishihara, S. Sato and Y. Takita, *Jpn. Chem. Sensor*, **9**, 156 (1993).
- P. Nelli, G. Sberveglieri, *Sensor and Actuators, B, Chemical*, **31**, 89 (1996).
- Z. M. Jarzebski, *Oxide Semiconductors*, pp. 53-139, Pergamon Press, Oxford, England (1973).
- M. J. Carey and A. E. Berkowitz, *J. Appl. Phys.*, **73**, 6892 (1993).
- H. Kumagai, M. Matsumoto, K. Toyoya and M. Obara, *J. Mater. Sci. Lett.*, **15**, 1081 (1996).
- J. F. McAleer, P. T. Moseley, J. O. W. Norris and D. E. Williams, *J. Chem. Soc. Faraday Trans.*, **83**, 1323 (1986).